

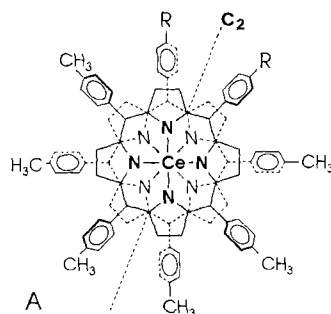
A

Teil A: Anorganische und elementorganische Chemie / Part A: Inorganic and Organometallic Chemistry

- 589 **Buchler*, J. W., Eiermann, V., Hanssum, H., Heinz, G., Rüterjans, H., Schwarzkopf, M.**

Metall-Komplexe mit Tetrapyrrol-Liganden, LXVI. – Synthese, Charakterisierung und Untersuchung der Temperaturabhängigkeit der ^1H - und ^{19}F -NMR-Spektren von Cer(IV)-Doppeldecker-Komplexen mit monofunktionalisierten Tetraarylporphyrinen

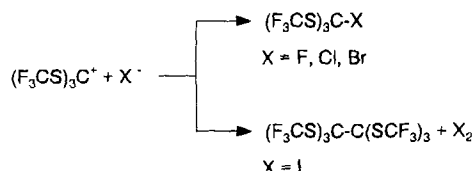
Metal Complexes with Tetrapyrrole Ligands, LXVI. – Synthesis, Characterization, and Variable-Temperature ^1H - and ^{19}F -NMR Investigations of Cerium(IV) Double-Deckers Derived from Monofunctionalized Tetraarylporphyrins



- 597 **Boese, R., Haas, A., Krüger, C., Möller, G., Waterfeld*, A.**

Synthesen und Reaktionen acyclischer fluororganischer Thiocarbenium-Ionen

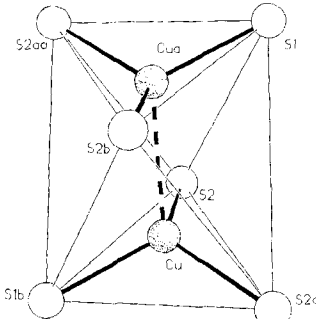
Syntheses and Reactions of Fluoroorganic Acyclic Thiocarbenium Ions



- 605 **Kleinitz, U., Mattes*, R.**

Synthese und Kristallstruktur der kurze M···M-Abstände enthaltenden Kupfer(I)- und Gold(I)-Komplexe $[\text{C}(\text{NH}_2)_3]_2[\text{M}_2(1,2\text{-Dithiosquarat})_2]$, M = Cu, Au, und des Gold(III)-Komplexes $(\text{cycloPrPh}_3\text{P})[\text{Au}(1,2\text{-Dithiosquarat})_2]$

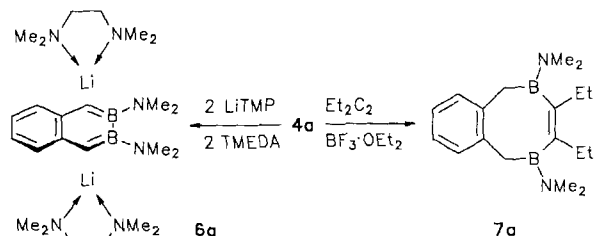
Synthesis and Crystal Structures of Copper(I) and Gold(I) Complexes $[\text{C}(\text{NH}_2)_3]_2[\text{M}_2(1,2\text{-dithiosquarate})_2]$, M = Cu, Au, Containing Short M···M Distances, and of the Gold(III) Complex $(\text{cycloPrPh}_3\text{P})[\text{Au}(1,2\text{-dithiosquarate})_2]$



- 611 **Weinmann, W., Pritzkow, H., Siebert*, W.**

Synthese, Deprotonierung und Ringerweiterung eines 2,3-Diboratetralins

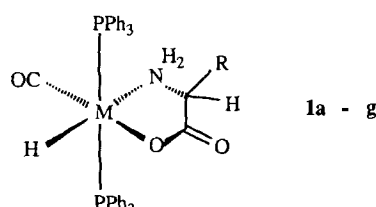
Synthesis, Deprotonation, and Ring Expansion of a 2,3-Diboratetralin



- 615 **Severin, K., Süinkel, K., Beck*, W.**

Metallkomplexe mit biologisch wichtigen Liganden, LXX. – Synthese, Stereochemie und Reaktionen von Ruthenium(II) und Osmium(II)-Komplexen mit α -Aminocarboxylat-Liganden

Metal Complexes of Biologically Important Ligands, LXX. – Synthesis, Stereochemistry and Reactions of Ruthenium(II) and Osmium(II) Complexes with α -Amino Carboxylates

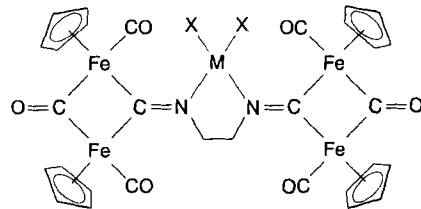


621

Schrölkamp, S., Sperber, W., Lentz, D., Fehlhammer*, W. P.

Koordinationschemie mit den komplexen Chelatliganden $\{\text{Fe}_2\text{Cp}_2(\text{CO})_3\}_2\{\text{CN}[\text{CH}_2]_n\text{NC}\}$ ($n = 2, 3$). Heteropentanukleare "Superkomplexe" mit μ_5 -Diisocyanid-Brücken

Coordination Chemistry with the Complex Chelating Ligands $\{\text{Fe}_2\text{Cp}_2(\text{CO})_3\}_2\{\text{CN}[\text{CH}_2]_n\text{NC}\}$ ($n = 2, 3$). Heteropentanuclear "Supercomplexes" with μ_5 -Diisocyanide Bridges



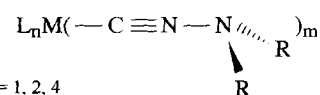
M= Mn, Fe, Co, Ni, Pd, Pt, Cu, Zn, Cd, Hg
X= Cl, Br, I, Ac

631

Fehlhammer*, W. P., Metzner, R., Sperber, W.

Metallkomplexe funktioneller Isocyanide, XXIII. – N-Isocyanodialkylamin-Komplexe des Bors, Rhodiums, Palladiums, Platins und Kupfers

Metal Complexes of Functional Isocyanides, XXIII. – N-Isocyanodialkylamine Complexes of Boron, Rhodium, Palladium, Platinum, and Copper

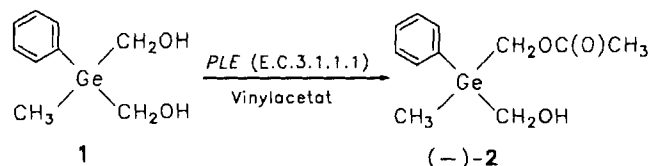


639

Tacke*, R., Wagner, S. A., Sperlich, J.

Synthese von (–)-(Acetoxyethyl)(hydroxymethyl)methyl(phenyl)german [(–)-MePhGe(CH₂OAc)(CH₂OH)] durch eine Esterase-katalysierte Umesterung: Die erste enzymatische Synthese eines optisch aktiven Germans

Synthesis of (–)-(Acetoxyethyl)(hydroxymethyl)methyl(phenyl)germane [(–)-MePhGe(CH₂OAc)(CH₂OH)] by an Esterase-Catalyzed Transesterification: the First Enzymatic Synthesis of an Optically Active Germane

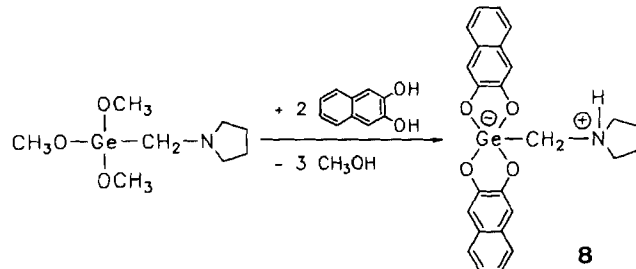


Notizen / Notes

643

Tacke*, R., Sperlich, J., Becker, B.

Bis[2,3-naphthalindiolato(2–)][pyrrolidinomethyl]-germanat-Tetartoacetonitril, das erste zwitterionische λ^5 -Germanat: Synthese und Kristallstrukturanalyse
Bis[2,3-naphthalenediolato(2–)][pyrrolidinomethyl]-germanate-Tetartoacetonitrile, the First Zwitterionic λ^5 -Germanate: Synthesis and Crystal Structure Analysis

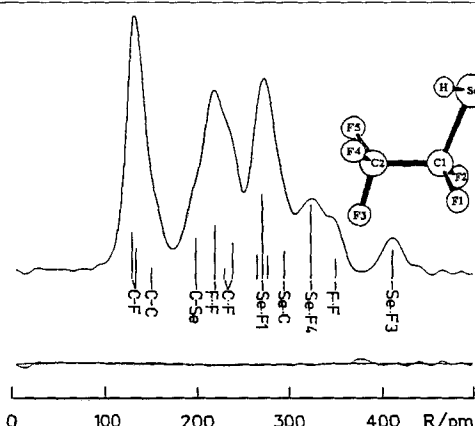


647

Blau, H., Grobe*, J., Le Van, D., Mack, H.-G., Oberhammer, H.

Reaktive E=C(p-p) π -Systeme, XXXVII. – Pentfluorethaneselenol: Synthese, Spektren und Gasphasen-Struktur

Reactive E=C(p-p) π Systems, XXXVII. – Pentfluoroethaneselenol: Synthesis, Spectra, and Gas-Phase Structure

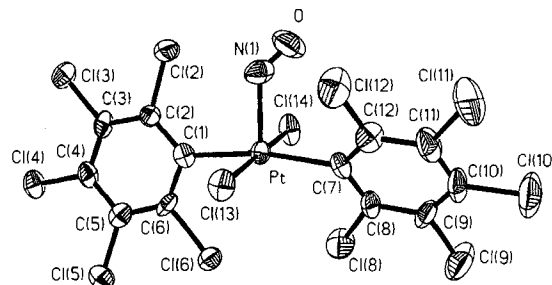


651

Forniés*, J., Menjón, B., Sanz-Carrillo, R. M., Tomás, M.

Synthese und strukturelle Charakterisierung des gewinkelten Nitrosyl-organometall-Komplexes $[NBu_4] \cdot [Pt(C_6Cl_5)_2Cl_2(NO)]$

Synthesis and Structural Characterization of the Bent Nitrosyl Organometallic Complex $[NBu_4] \cdot [Pt(C_6Cl_5)_2Cl_2(NO)]$

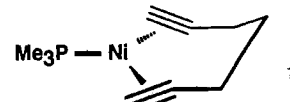


653

Proft, B., Pörschke*, K.-R., Lutz, F., Krüger, C.

Synthese und Struktur von $(R_3P)Ni(1,6\text{-Heptadiin})$ -Komplexen

Synthesis and Structure of $(R_3P)Ni(1,6\text{-Heptadiyne})$ Complexes

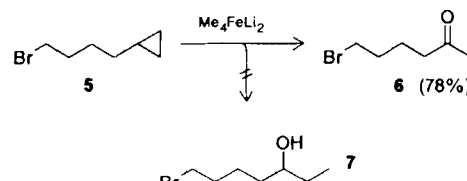
**B****Teil B: Organische Chemie / Part B: Organic Chemistry**

659

Kauffmann*, T., Neiteler, C., Neiteler, G.

Alkyleisen- und Alkylcobalt-Reagenzien, IX. – Umlagerung aliphatischer terminaler Epoxide zu Methylketonen durch Eisenalkyl-Reagenzien statt durch $Co_2(CO)_8$ oder Edelmetallkatalysatoren

Alkyliron and Alkylcobalt Reagents, IX. – Rearrangement of Aliphatic Terminal Epoxides to Methyl Ketones by Iron Alkyl Reagents instead of $Co_2(CO)_8$ or Noble Metal Catalysts

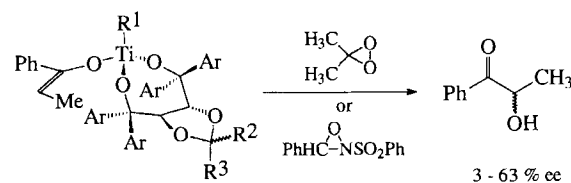


667

Adam*, W., Prechtl, F.

Enantioselektive Oxidation von chiralen Titan-enolaten aus Propiophenon mit Dimethyldioxiran oder 3-Phenyl-2-phenylsulfonyloxaziridin

Enantioselective Oxidation of Chiral Titanium Enolates Derived from Propiophenone by Dimethyldioxirane or 3-Phenyl-2-phenylsulfonyloxaziridine

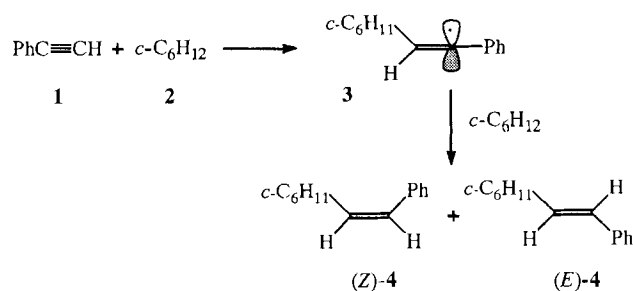


673

Metzger*, J. O., Bangert, F.

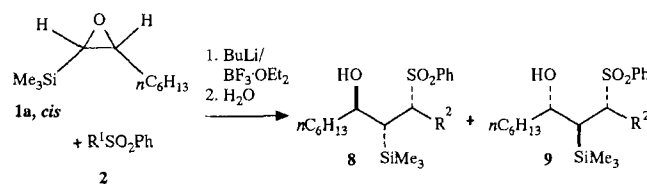
Thermisch initiierte, über freie Radikale verlaufende Kettenaddition von Alkanen an Alkine, II. – Kinetik der Addition von Cyclohexan an Phenylethyne in superkritischen fluiden Phasen

Thermally Initiated Free-Radical Chain Addition of Alkanes to Alkenes, II. – Kinetics of the Addition of Cyclohexane to Phenylethyne under Supercritical Fluid Conditions



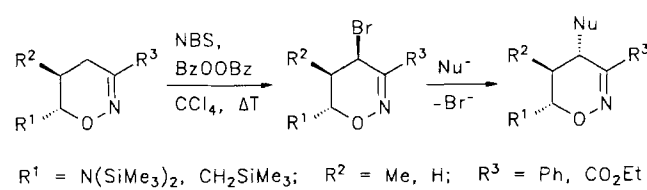
Reaktion von (α,β -Epoxyalkyl)silanen mit α -Sulfonyl-Anionen und α -Sulfonyl-Anionen in Gegenwart einer Lewis-Säure. Eine Methode zur Synthese von (*Z*)-*sec*-Allylalkoholen und β,γ -ungesättigten Alkylphenylsulfonen

Reaction of (α,β -Epoxyalkyl)silanes with α -Sulfonyl Anions and α -Sulfonyl Anions in the Presence of a Lewis Acid. A Method for the Synthesis of (*Z*)-*sec*-Allylic Alcohols and β,γ -Unsaturated Alkyl Phenyl Sulfones



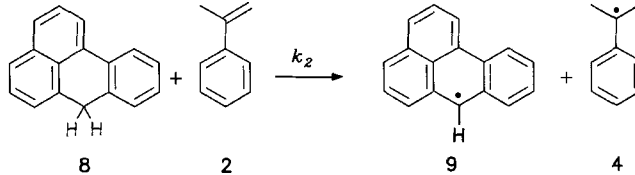
Diastereoselektive radikalische Bromierung von 5,6-Dihydro-4H-Oxazinen und anschließende Substitutionsreaktionen mit Stickstoff-Nukleophilen

Diastereoselective Radical Bromination of 5,6-Dihydro-4*H*-1,2-oxazines and Subsequent Substitution Reactions with Nitrogen Nucleophiles



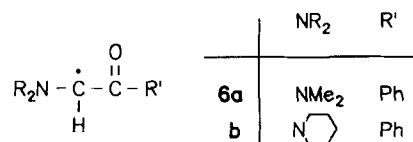
Bimolekulare Radikalbildung durch H-Transfer, 7. – Katalyse der Transferhydrierung von α -Methylstyrol durch 9,10-Dihydroanthracen mit 7*H*-Benz[*de*]anthracen

Bimolecular Formation of Radicals by H-Transfer, 7. – Bimolecular Formation of Radicals via H-Transfer with Catalysis by 7*H*-Benz[*de*]anthracene



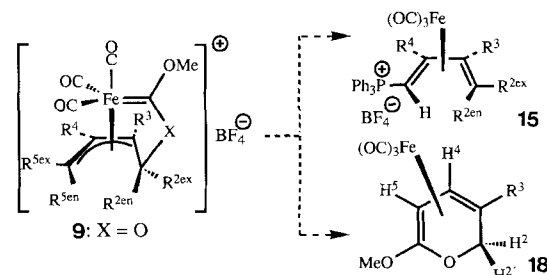
Substituenteneffekte auf die C–C-Bindungsstärke, 14. – Kinetische und thermodynamische Stabilität von 2,3-Bis(dialkylamino)-1,4-diketonen – Stabilisierungsenergie capto-dativ substituierter α -Dialkylamino- α -Carbonylalkyl-Radikale

Substituent Effects on the Strength of C–C Bonds, 14. – Kinetic and Thermodynamic Stability of 2,3-Bis(dialkylamino)-1,4-diketones – Energy of Stabilization of α -Dialkylamino α -Carbonylalkyl Radicals with Capto-dative Substituents



Synthese, Kristallstruktur und Reaktionen neuartiger metallacyclischer Dioxo- und Aminooxocarbene-Komplexe des Eisens

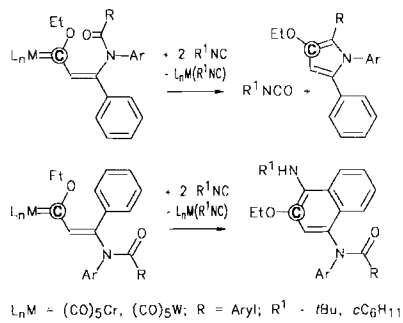
Synthesis, Crystal Structure, and Reactions of Novel Metallacyclic Dioxo- and Aminooxocarbene Complexes of Iron



Aumann*, R., Jasper, B., Goddard, R., Krüger, C.

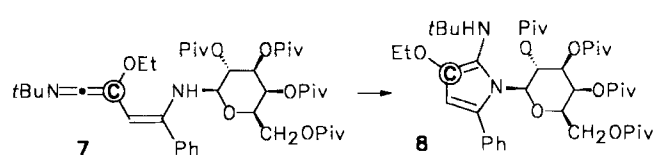
Organische Synthesen mit Übergangsmetallkomplexen, 69. – [2-(Acylamino)ethenyl]ketenimine aus [2-(Acylamino)ethenyl]carben-Komplexen sowie deren Ringschluß-Metathese zu Pyrrolen oder deren Elektrocyclisierung zu 1,4-Diaminonaphthalinen

Organic Syntheses via Transition Metal Complexes, 69. – 2-(Acylamino)ethyl Ketene Imines from [2-(Acylamino)ethenyl]carbene Complexes and their Ring-Closing Metathesis to Pyrroles or Electrocyclization to 1,4-Diaminonaphthalenes

**Aumann, R.**

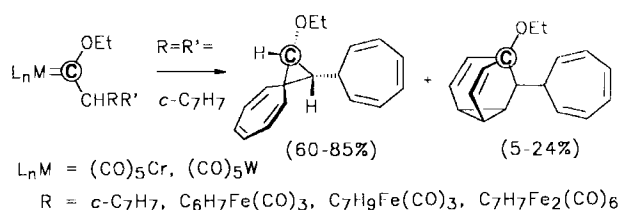
Organische Synthesen mit Übergangsmetallkomplexen, 70. – [2-(Galactopyranosylamino)ethenyl]carben- und 3-(Galactopyranosylamino)-1,2-propadienyldien-Komplexe durch 3-Addition von 2,3,4,6-Tetra-O-pivaloyl- β -D-galactopyranosylamin an Alkinylcarben-Komplexe ($\text{M} = \text{Cr, W}$). – Atropisomere Galactopyranosyl-Pyrrole durch Reaktion von [2-(Galactopyranosylamino)ethenyl]carben-Komplexen mit Isocyaniden

Organic Syntheses via Transition Metal Complexes, 70. – [2-(Galactopyranosylamino)ethenyl]carbene and 3-(Galactopyranosylamino)-1,2-propadienyldene Complexes on 3-Addition of 2,3,4,6-Tetra-O-pivaloyl- β -D-galactopyranosylamine to Alkynylcarbene Complexes ($\text{M} = \text{Cr, W}$). – Atropisomeric Galactopyranosyl Pyrroles by Reaction of [2-(Galactopyranosylamino)ethenyl]carbene Complexes with Isocyanides

**Aumann*, R., Läge, M., Krebs, B.**

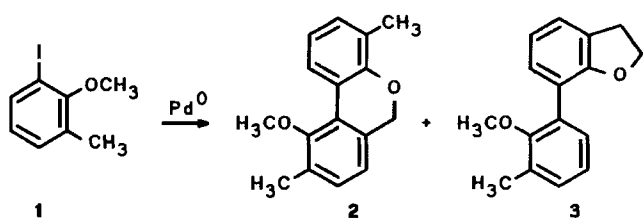
Organische Synthesen mit Übergangsmetallkomplexen, 71. – Methylcarben-Komplexe von Chrom und Wolfram mit Cycloheptatrienyl-, Cyclohexadienyl[Fe(CO)₃]- und Cycloheptadienyl[Fe(CO)₃]-Resten als α -Substituenten

Organic Syntheses via Transition Metal Complexes, 71. – Methylcarbene Complexes of Chromium and Tungsten with Cycloheptatrienyl-, Cyclohexadienyl[Fe(CO)₃]- and Cycloheptadienyl[Fe(CO)₃] Substituents

**Dyker, G.**

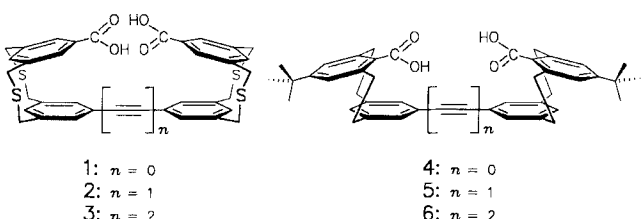
Übergangsmetall-katalysierte Anellierungsreaktionen, VII. – Palladium-katalysierte C–H-Aktivierung von Methoxygruppen: Regiochemie des Domino-Kuppelungsprozesses

Transition Metal-Catalyzed Annulation Reactions, VII. – Palladium-Catalyzed C–H Activation at Methoxy Groups: Regiochemistry of the Domino Coupling Process

**Güther, R., Nieger, M., Rissanen, K., Vögtle*, F.**

Molekulare Pinzetten aus Cyclophan-Bausteinen

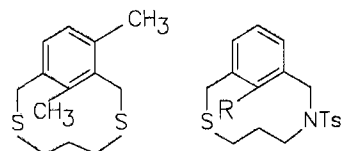
Molecular Tweezers from Cyclophane Building Blocks



Müller, B., Pischel, I., Nieger, M., Vögtle*, F.

Deformierte chirale [n]Metacyclophane

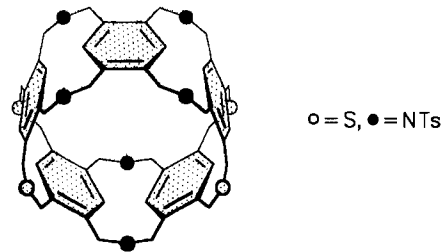
Deformed Chiral [n]Metacyclophanes



Josten, W., Karbach, D., Nieger, M., Vögtle*, F., Häggle, K., Svoboda, M., Przybylski, M.

Gürtelförmige Moleküle mittels repetitiver Synthesestrategie

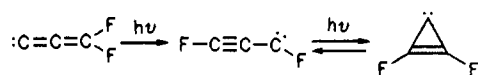
Belt-Shaped Molecules by a Repetitive Synthetic Strategy



Maier*, G., Preiss, T., Reisenauer, H. P.

Kleine Ringe, 83. – C_3F_2 -Isomere: Erzeugung durch gepulste Blitzpyrolyse und matrixspektroskopische Identifizierung

Small Rings, 83. – C_3F_2 Isomers: Generation by Pulsed Flash Pyrolysis and Matrix-Spectroscopic Identification

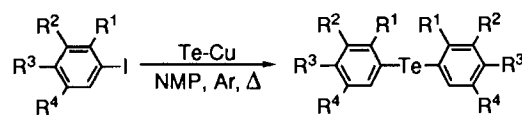


Notizen / Notes

Suzuki*, H., Nakamura, T.

Eine bequeme Eintopf-Darstellung von Bis(nitroaryl)-telluriden mit einem Tellur-Kupfer-Paar als Tellurierungs-Reagenz

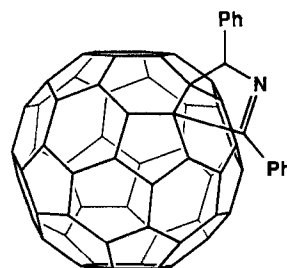
A Convenient One-Pot Preparation of Bis(nitroaryl) Tellurides Using a Tellurium-Copper Couple as the Telluration Reagent



Averdung, J., Albrecht, E., Lauterwein, J., Luftmann, H., Mattay*, J., Mohn, H., Müller, W. H., ter Meer, H.-U.

Photoreaktionen mit Fullerene- C_{60} . [3 + 2]-Photocycladdition von 2,3-Diphenyl-2H-azirin

Photoreactions with C_{60} -Fullerene. [3 + 2] Photocycladdition of 2,3-Diphenyl-2H-azirine



Stöckigt, D., Schwarz*, H.

Unterscheidung zwischen $Fe^+ - NCH$ - und $Fe^+ - CNH$ -Komplexen durch Ion-Molekül-Reaktionen in der Gas-Phase

Distinction of $Fe^+ - NCH$ and $Fe^+ - CNH$ Complexes by Gas-Phase Ion-Molecule Reactions

